

# مجله علوم و صنایع غذایی ایران



سایت مجله: [www.fsct.modares.ac.ir](http://www.fsct.modares.ac.ir)

## مقاله علمی پژوهشی

بهینه سازی شرایط استخراج (غلظت حلال و زمان استخراج) عصاره آبی، الكلی و هیدورالکلی گیاه خوشاریزه (Echinophora platyloba) خصوصیات آنتی اکسیدانی و اثر کشنده‌گی آن بر پروتوباسکولکس‌های کیست هیداتید در شرایط آزمایشگاهی

میلاد قربانی پور<sup>۱</sup>، زینب صادقی دهکردی<sup>۲\*</sup>، علیرضا سازمند<sup>۳</sup>، امیر دارایی گرمeh خانی<sup>۳</sup>، محمد فلاح<sup>۴</sup>، عباسعلی ساری<sup>۵</sup>

۱-دانش آموخته کارشناسی ارشد انگل شناسی، دانشکده پیرادامپزشکی، دانشگاه بوعلی سینا، همدان، ایران.

۲-استادیار، گروه پاتوبیولوژی، دانشکده پیرادامپزشکی، دانشگاه بوعلی سینا، همدان، ایران.

۳-دانشیار، گروه مهندسی علوم و صنایع غذایی، دانشکده صنایع غذایی تویسرکان دانشگاه بوعلی سینا، همدان، ایران.

۴-استاد، گروه انگل شناسی و فارج شناسی، دانشکده پزشکی، دانشگاه علوم پزشکی همدان، همدان، ایران.

۵-استادیار، گروه بهداشت و کنترل کیفی مواد غذایی، دانشکده پیرادامپزشکی، دانشگاه بوعلی سینا، همدان، ایران.

## چکیده

## اطلاعات مقاله

اکینوکوکوزیس سیستیک (هیداتیدوزیس) یک بیماری مهم و شایع مشترک بین انسان و حیوان است که توسط مرحله لاروی سیستودهای جنس اکینوکوکوس ایجاد می‌گردد. اگرچه در بسیاری از موارد بیماری در انسان، درمان انتخابی جراحی است ولی به طور ثانویه ممکن است در مرحله تخلیه کیست باعث انتشار نوزادان انگل (پروتوباسکولکس‌ها) و مسبب رشد کیست‌های جدید شود. در حال حاضر از محلول‌هایی نظری نمک هایپertonیک و نیترات نقره برای غیر فعال کردن محتویات کیست استفاده می‌شود که عوارض جانبی برای بیماران به همراه دارند. بنابراین نیاز به یافتن ترکیبات پروتوباسکولکس کش جدید با تأثیر پیشتر و عوارض کمتر همیشه مورد توجه بوده است. هدف از این تحقیق، بهینه‌سازی شرایط استخراج عصاره گیاه خوشاریزه و بررسی ویژگی‌های آنتی اکسیدانی و ترکیبات فنولی حاصل از آن و نیز خاصیت کشنده‌گی پروتوباسکولکس‌های کیست هیداتید در شرایط آزمایشگاهی بود. برای این هدف، ابتدا عصاره هیدروالکلی گیاه خوشاریزه تحت تأثیر غلظت‌های ۰، ۵۰ و ۱۰۰٪ اتانول و طی مدت زمان‌های ۲۴، ۴۸، ۷۲ ساعت استخراج گردید. برای تعیین بهترین شرایط استخراج عصاره‌ها از روشن سطح پاسخ استفاده گردید و عصاره‌گیری در شرایط بهینه صورت گرفت. نهایتاً از عصاره‌های استخراجی در شرایط بهینه غلظت‌های ppm در ۶۰۰، ۴۰۰، ۲۰۰ تهیه گردید و تأثیر آن‌ها بر پروتوباسکولکس‌های زنده استحصال شده از کیست‌های هیداتید کبد گوسفند و بز از کشтарگاه همدان بررسی گردید. نتایج نشان داد عصاره خوشاریزه حاصل از ۲۴ ساعت استخراج با اتانول خالص (۰٪) در زمان‌های ۵، ۱۵ و ۳۰ دقیقه می‌تواند ۱۰۰ درصد پروتوباسکولکس‌ها را از بین ببرد. نتایج آزمایشات بیرون‌تنی (*in vitro*) حاضر پیشنهاد می‌دهد که عصاره اتانولی گیاه خوشاریزه می‌تواند به عنوان یک کاندیدای مناسب جهت استفاده در محیط‌های درون‌تنی (*in vivo*) استفاده شود.

تاریخ های مقاله :

تاریخ دریافت: ۱۴۰۱/۰۸/۲۳

تاریخ پذیرش: ۱۴۰۱/۱۰/۱۴

## کلمات کلیدی:

کیست هیداتید،

خوشاریزه،

عصاره بهینه،

پروتوباسکولکس کش.

DOI: 10.22034/FSCT.19.132.313

DOR: 20.1001.1.20088787.1401.19.132.23.6

\* مسئول مکاتبات:

dehkordisz@gmail.com

z.sadeghhidehkordi@basu.ac.ir

پرمصرف‌ترین آن‌ها متعلق به خانواده Lamiaceae (درصد ۱۱/۳) و Apiaceae (درصد ۲۵) بروز، تیمول و تیموکینون بوده است [۱۱]. در مطالعه مذکور، نتایج اثرات اسکولکس‌کشی اسانس گیاهان مختلف، نشان داد که اثر بخشی آن‌ها در محیط آزمایشگاه، پس از ۲۰ تا ۲۰ دقیقه و با آسیب به لایه زیایی کیست هیداتید اتفاق می‌افتد. برخی اسانس‌ها مانند اسانس آویشن شیرازی، سبب کاهش وزن و اندازه کیست می‌گردد، اما به طور کامل کیست را از بین نمی‌برد [۱۱] در مطالعه ملکی فرد و همکاران (۱۳۹۷)، عصاره خرنوب در غلظت ۵۰ میلی‌گرم در میلی‌لیتر بعد از گذشت ۳۰ دقیقه موجب از بین رفتن تمام پروتوتاسکولکس‌ها شد [۷]. در مطالعه بهرامی و همکاران (۱۳۹۴)، اسانس ترتیزیک در غلظت ۱۵ میلی‌گرم پس از ۶۰ دقیقه، همه پروتوتاسکولکس‌ها را از بین برد [۸]. در مطالعه فیضی و همکاران (۱۳۹۶)، مخلوط عصاره‌های زنجبل و اکالیپتوس بعد از ۱۵ و ۳۰ دقیقه مواجهه به ترتیب ۹۷/۲۴ و ۱۰۰ درصد پروتوتاسکولکس‌ها را از بین بردنده [۹]. در مطالعه حسینی و همکاران (۱۳۹۶)، مواجهه اسانس درمنه با پروتوتاسکولکس‌ها پس از ۱۲۰ دقیقه ۹۹/۳ درصد پروتوتاسکولکس‌کشی گزارش شد [۱۰]. همان‌طور که ملاحظه می‌شود در مطالعات قبلی در زمان مواجهه ۳۰ دقیقه عصاره یا اسانس با کیست، پروتوتاسکولکس‌ها به طور کامل از بین نرفته و یا در زمان مواجهه طولانی بالاتر (۶۰ تا ۱۲۰ دقیقه)، ۱۰۰ درصد پروتوتاسکولکس‌ها از بین رفته‌اند.

گیاه خوشاریزه با نام علمی *Echinophora platyloba* از خانواده چتریان و از گیاهان انحصاری ایران بوده و به عنوان چاشنی غذایی و معطر کردن غذا استفاده می‌شود. این گیاه به نام‌های محلی خوشاروز، خوشاروزه، تیغ توراغ و کشندر معروف است [۱۱]. خوشاریزه از خانواده آمبیلیفرا و یک گیاه دائمی در مناطق مدیترانه‌ای و همچنین در استان‌های مرکزی و غربی ایران است [۱۲]. انتهای برگ‌ها خاردار است و از خرداد ماه تا شهریور ماه شکوفه می‌روید. در ایران بخش‌های هوایی و خشک شده برخی از گونه‌ها، به عنوان چاشنی به پنیر و ماست اضافه می‌شود. همچنین گونه‌های مربوط به *Echinophora* در پژوهشی ستی به منظور بهبود زخم و درمان زخم معده به سبب ویژگی ضد قارچی و ضد نفخ استفاده می‌شود [۱۲].

## ۱- مقدمه

هیداتیدوزیس بیماری زئونوز با انتشار جهانی است که توسط مرحله لاروی کرم‌های نواری کمپلکس اکینوکوکوس گرانولوزوس ایجاد می‌شود [۱]. بیماری در ایران هایپرآندمیک بوده و جوامع درگیر را از نظر بهداشتی و اقتصادی محتمل خسارات زیادی می‌کند [۲]. تخمین زده می‌شود که خسارت اقتصادی ناشی از این بیماری در کشور سالانه حدود ۲۳۲ میلیون دلار باشد [۳]. سگ‌سانان میزبان نهایی انگل هستند و انسان به عنوان میزبان تصادفی، با خوردن آب، سبزیجات و مواد غذایی آلوده به تخم انگل مبتلا می‌شود [۴]. درمان کیست هیداتید در انسان دارای پیچیدگی‌های متعددی است. اگرچه روش عمل جراحی جهت خارج کردن کیست‌های انگل از بدن بیمار یکی از کارآمدترین روش‌ها می‌باشد، اما به علت وجود کیست‌های دور از دسترس برای جراحی، عدم خارج کردن کامل لایه زیایی کیست در حین جراحی و خطر عود بیماری، محققان به دنبال ترکیبات اسکولکس کش با تأثیر بیشتر و عوارض جانبی کمتر هستند. استفاده از نمک هایپرتونیک به عنوان عامل پروتوتاسکولکس کش به صورت گسترشده در جراحی، سبب بروز عوارضی مانند کلازتیت اسکلروزان و تنگی مجاری صفرایی شده است [۵]. عوارض جانبی فرمالین نسبت به سایر ترکیبات شیمیایی، بیشتر شایع است زیرا تماس فرمالین با مجاری صفرایی، سبب انهدام یاخته‌های اپی‌تیال و در نهایت نکروز کبدی می‌گردد [۶]. با این وجود نیاز به یافتن پروتوتاسکولکس کش گیاهی با تأثیر بیشتر و عوارض کمتر به عنوان جایگزین همیشه مورد توجه قرار گرفته است.

گیاهان سال‌های زیادی است که در سراسر جهان برای درمان و پیشگیری از بعضی بیماری‌ها استفاده می‌شوند. به صورت خاص مطالعات متعددی در زمینه اثرات پروتوتاسکولکس کشی گیاهان مختلف مانند عصاره خرنوب [۷]، اسانس ترتیزیک [۸]، مخلوط عصاره زنجبل و اکالیپتوس [۹]، اسانس درمنه [۱۰] صورت گرفته است. در یک مطالعه موری سیستماتیک، ۵۲ گونه‌ی گیاهی متعلق به ۲۲ خانواده به عنوان عامل اسکولکس کش اکینوکوکوس گرانولوزوس معرفی شدند که

آزمایشگاهی با دقت  $0.0001\text{ g}$  (سارتوریوس آلمان)، دستگاه اسپکتروفوتومتر دو پرتویی ماوراء بنفس-مرئی (پی جی اینسترومانت، انگلستان)، ساتریفیوژ آزمایشگاهی (سیگما، آلمان)، دستگاه تبخیر کننده چرخشی (ای کا آ آر وی ۱۰ آلمان)، pH متر (دنور آلمان)، دستگاه بن ماری (فن آزما گستر ایران)، شیکر لوله (لایبنکو پارس خزر، ایران) بود.

## ۲-۲- روش تهیه عصاره خوشاریزه

پس از تمیز کردن گیاه خوشاریزه، برگ و ساقه گیاه جداسازی و آسیاب شد. به منظور تهیه عصاره، از حلال‌های آب خالص، اتانول خالص  $100\text{ ml}$  درصد و مخلوط آب و اتانول ( $50/50\%$ ) به نسبت ۵ به ۱ استفاده شد. مخلوط‌های حلال و گیاه خوشاریزه در زمان‌های مختلف ( $48\text{, }72\text{ و }24\text{ ساعت}$ ) روی هیتر همزندار دار با دمای  $40^\circ\text{C}$  درجه سانتی‌گراد قرار گرفتند و در طول آزمایش، سطح حلال با اضافه کردن حلال تازه با دمای  $40^\circ\text{C}$  درجه سانتی‌گراد تنظیم شد. پس از زمان‌های مختلف استخراج، عصاره‌ها با کاغذ واتمن شماره  $40\text{ cm}^2$  صاف و با دستگاه اوپریاتور چرخشی تغییض و تا زمان آزمایش (حداکثر ۱۴ روز) درون ظروف استریل در دمای یخچال نگهداری شدند.

## ۲-۳- آزمایش‌های انجام شده روی عصاره‌ها

### ۲-۳-۱- میزان ترکیبات فنولی کل

میزان ترکیبات فنولی کل با استفاده از روش فولین سیوکالتور ارزیابی شد [۱۸]. بدین منظور ابتدا  $0.5\text{ ml}$  لیتر از هر عصاره با  $2/25\text{ ml}$  لیتر آب مقطر رقیق شد و  $250\text{ ml}$  میکرولیتر معرف فولین به آن اضافه گردید و پس از  $5\text{ دقیقه}$  قرار گرفتن در محیط تاریک،  $2\text{ ml}$  لیتر محلول کربنات سدیم  $7/5\text{ ml}$  درصد به محلول اضافه شد. سپس لوله‌ها به مدت  $30\text{ دقیقه}$  درون بن ماری  $40^\circ\text{C}$  درجه سانتی‌گراد نگهداری شدند. جذب نوری نمونه‌ها توسط دستگاه اسپکتروفوتومتر در طول موج  $760\text{ nm}$  تراویث شد. مقادیر ترکیبات فنولی کل عصاره‌ها با استفاده از منحنی استاندارد بر اساس میلی‌گرم اسید گالیک در گرم نمونه محاسبه گردید.

مطالعات قبلی نشان داد این گیاه دارای ترکیبات ساپونین، فلانوئید و آلکالوئید بوده و عصاره‌ی متانولی خوشاریزه بر رشد باکتری و قارچ اثر مهارکننده دارد [۱۱]. در مطالعه‌ای دیگر، اثرات ضد درد عصاره هیدروکلکلی گیاه خوشاریزه در موش صحرایی نر، به ترکیبات فلانوئید و آلکالوئید نسبت داده است [۱۳]. همچنین، فعالیت ضد سلطان، اثرات ضد میکروبی و محافظت از کبد در برابر سمیت حاصل از استامینوفن توسط این گیاه نشان داده است [۱۲]. از سوی دیگر، این ترکیبات به دلیل ساختار فنولی می‌توانند جایگزین موثری برای آنتی اکسیدان‌های سنتزی باشند [۱۴] چرا که آنتی اکسیدان‌های طبیعی علاوه بر داشتن خواص آنتی اکسیدانی، در کاهش سرطان‌ها و بیماری‌های قلبی و سایر بیماری‌های مرتبط با پیری موثر هستند [۱۵]. با توجه به اثرات ضد میکروبی و آنتی اکسیدانی [۱۶، ۱۷] گیاه خوشاریزه دست‌یابی به شرایط بهینه برای استخراج عصاره آن که دارای حداقل ترکیبات مؤثره موجود در گیاه باشد ضروری است. بنابراین این مطالعه با بررسی شرایط موثر بر استخراج عصاره‌های گیاهی نظری نوع و غلطت حلال مورد استفاده و زمان استخراج عصاره به منظور بهینه سازی شرایط استخراج عصاره جهت دست‌یابی به عصاره‌ای با بالاترین ترکیبات مؤثره و اقتصادی- ترین روش عصا رهگیری انجام شد. در بخش دوم تحقیق حاضر، از آنجا که در زمینه بررسی خواص آنتی اکسیدانی عصاره خوشاریزه و تعیین عصاره بهینه جهت اثر اسکولکس- کشی تحقیقی صورت نگرفته است، اثر عصاره بهینه بر پرتواسکولکس‌های اکینوکوکوسس گرانولوزوس مورد ارزیابی قرار گرفت.

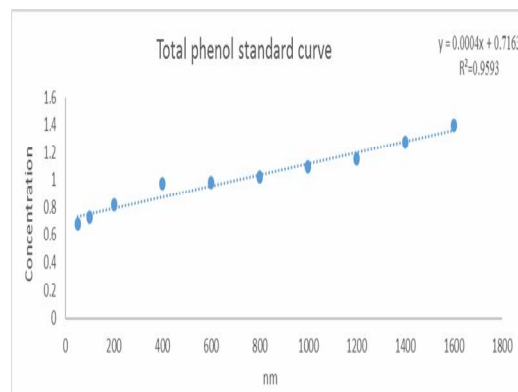
## ۲- مواد و روش‌ها

### ۲-۱- مواد و تجهیزات

در این تحقیق گیاه خوشاریزه از بازار گیاهان دارویی شهر همدان خریداری شد. همه مواد شیمیایی از شرکت مرک و حلال‌ها از شرکت‌های داخلی با بالاترین خلوص تهیه شدند. همچنین دستگاه‌ها و تجهیزات مورد استفاده شامل مخلوط کن خانگی (سانی، ایران)، آون (فن آزما گستر، ایران)، ترازوی

طبق روش ارائه شده [۱۹] انجام شد. به این صورت که ابتدا یک میلی لیتر محلول متانولی DPPH با ۳ میلی لیتر از عصاره‌ها مخلوط شد و مخلوط حاصل به مدت ۳۰ دقیقه در دمای اتاق و مکان تاریک نگهداری شد. سپس جذب آن در طول موج ۵۱۷ نانومتر قرائت شد و در نهایت، فعالیت بر حسب درصد مهار DPPH طبق فرمول زیر محاسبه گردید.

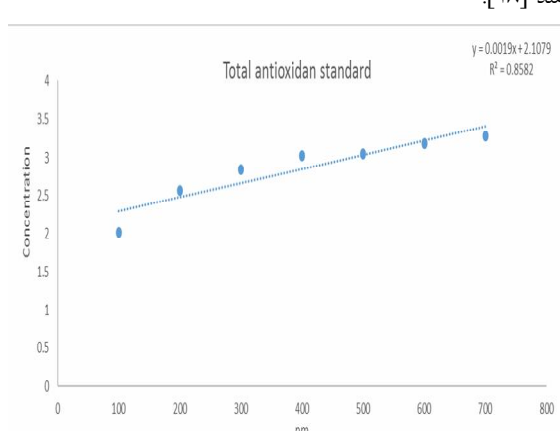
$$\text{DPPH} = \frac{\text{جدب محلول DPPH حاوی عصاره‌ها} - \text{جدب محلول DPPH (شاهد)}}{\text{جدب محلول DPPH (شاهد)}} \times 100$$



**Fig 1** Standard gallic acid curve in total phenolic compounds test

#### ۲-۳-۲- آزمون قدرت احیاء کنندگی آهن (FRAP)

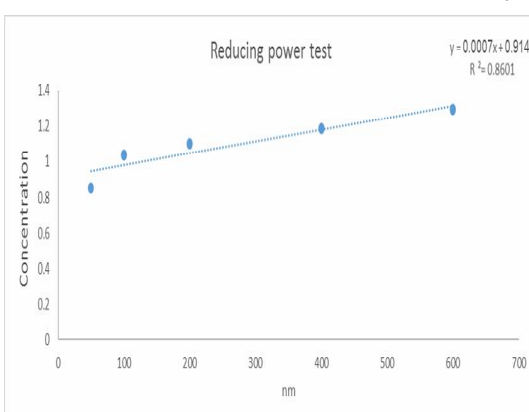
اندازه‌گیری فعالیت آنتی‌اکسیدانی به روش قدرت احیاء کنندگی آهن سه طرفی با استفاده از روش بیلدریم و همکاران [۱۸]، انجام شد. در این روش، یک میلی لیتر عصاره با ۲/۵ میلی لیتر بافر فسفات و ۲/۵ میلی لیتر فری سیانید پتابسیم مخلوط گردید. محلول فوق به مدت ۳۰ دقیقه در دمای ۵۰ درجه سانتی‌گراد قرار گرفت. سپس ۲/۵ میلی لیتر تری کلرواستیک اسید به مخلوط اضافه گردید و نمونه‌ها به مدت ۱۰ دقیقه سانتریفیوژ شدند. سپس، از محلول رویی با ۰/۵ میلی لیتر آب مقطر و ۰/۵ میلی لیتر کلرید آهن ۳ مخلوط شده و جذب نوری آن توسط دستگاه اسپکتروفوتومتری قرائت شد. برای رسم نمودار استاندارد از استاندارد اسید گالیک استفاده گردید.



**Fig 3** Standard gallic acid curve in total antioxidant test

#### ۴-۲- بررسی اثر عصاره‌های تولیدی بر

پروتواسکولکس‌های اکینوکوکوس گرانولوزوس از شهریور تا دی ماه ۱۴۰۰، ریه و کبد های گوسفندان آلدوه به کیست هدانید از کشتارگاه صنعتی شهرستان همدان، طی ۲۰ نوبت جمع‌آوری گردید و به آزمایشگاه انگل‌شناسی دانشکده پرادرامپزشکی دانشگاه بوعلی سینا منتقل شد. در شرایط



**Fig 2** Standard gallic acid curve in FRAP test

#### ۳-۳-۲- اندازه‌گیری فعالیت مهار رادیکال آزاد DPPH

اندازه‌گیری فعالیت آنتی‌اکسیدانی به روش مهار رادیکال فعال

مشاهده شده به صورت تصادفی درآمدند. برای رسم نمودارهای سه بعدی و بهینه سازی داده ها از نرم افزار ۱۱.۰.۲ Design Expert استفاده شد. همچنین نتایج پروتواسکولکس کشی عصاره ها بر اساس طرح پایه کاملاً تصادفی با ۴ تکرار انجام شد. جهت تجزیه و تحلیل داده ها از نرم افزار SAS (۲۰۰۱) استفاده شد. مقایسه میانگین صفات اندازه گیری شده با استفاده از آزمون چند دامنه ای دانکن و در سطح احتمال ۵ درصد انجام گردید [۲۰].

**Table 1** Independent variables and levels used to optimize the antioxidant properties of ethanolic extracts of *Echinophora platyloba* extract under different extraction conditions.

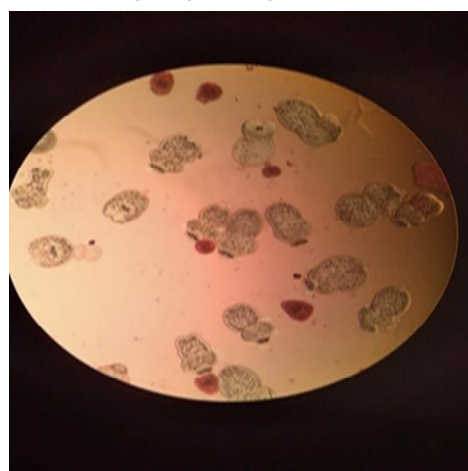
Independent variables	Levels and limits of variables		
	-1	0	+1
Extraction time (hr)	24	48	72
Solvent concentration (v/v)	0	50	100

### ۳- نتایج و بحث

#### ۱-۳- بررسی خواص آنتی اکسیدانی و ترکیبات فنولی عصاره های گیاه خوشاریزه

۱-۳-۱- ترکیبات فنولی کل عصاره های استخراجی روند تغییرات ترکیبات فنولی کل عصاره های گیاه خوشاریزه تحت تأثیر شرایط مختلف استخراج شامل زمان استخراج و غلظت های مختلف حلال اتانولی در شکل ۵ ارائه شده است. همان طور که ملاحظه می شود با افزایش زمان استخراج، میزان ترکیبات فنولی کل روند افزایشی را طی می کند در حالیکه با افزایش غلظت حلال اتانول میزان ترکیبات فنولی استخراجی کاهش می یابد. پیش از این نشان داده شده است که با افزایش غلظت حلال اتانولی از قطبیت حلال استخراجی (میزان آب حلال) کاسته می شود و بنابراین حلال نمی تواند ترکیبات قطبی و فنولی بیشتری را استخراج نماید [۲۳].

استریل، محتویات کیست ها با سرنگ به درون لوله های فالکون منتقل و پس از برش عرضی و تخلیه مایع کیست، با استفاده از پنس استریل، غشای زایا درون پلیت منتقل شد. سپس با استفاده از سرم فیزیولوژی غشای زایا شستشو داده شد تا پروتواسکولکس بیشتری به دست آید. مایع کیست در زیر میکروسکوپ مشاهده و باور بودن و یا نبودن مورد بررسی قرار گرفت. بدین ترتیب که ۲۰ میکرومتر مایع حاوی پروتواسکولکس با ۲۰ میکرومتر رنگ اوزین ۱/۰ درصد روی لام میکروسکوپی، مخلوط شد و زیر میکروسکوپ مشاهده شد. پروتواسکولکس های زنده بی رنگ باقی می مانند [۸].

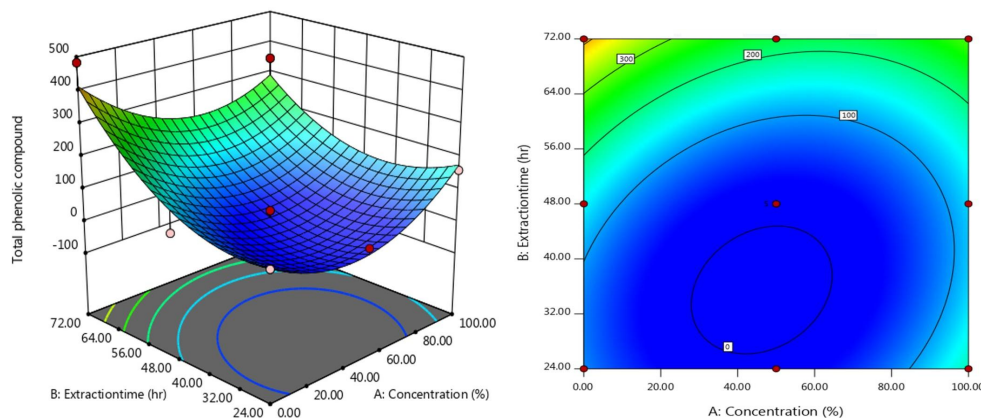


**Fig 4** Protoscolices exposed with eosin (after exposure to the stain, dead protoscolices absorbed eosin and colored red, alive protoscolices remained colorless).

#### ۲-۵- تجزیه و تحلیل آماری و بهینه سازی

به منظور بهینه سازی شرایط استخراج عصاره های گیاه خوشاریزه تحت تأثیر غلظت حلال و زمان استخراج از روش سطح پاسخ استفاده گردید. به این منظور طرح مرکزی CCD<sup>۱</sup>) با ۳ سطح و ۵ تکرار در نقطه مرکزی برای بررسی تأثیر شرایط استخراج بر خواص آنتی اکسیدانی عصاره های حاصل مورد استفاده قرار گرفت (+1، 0، -1). در این تحقیق محدوده های متغیرهای مستقل غلظت حلال مورد استفاده (X<sub>۱</sub>) و زمان استخراج عصاره (X<sub>۲</sub>) از آزمون های اولیه استنتاج گردید (جدول ۱). تیمارهای آزمایشی به منظور به حداقل رساندن اثرات تغییرات پیش بینی نشده در پاسخ های

1. Central Composite Design



**Fig 5** 3D and 2D diagram of changes in total phenolic compounds (mg Gallic acid per 100 g of *Echinophora platyloba*) of ethanolic extracts of a *Echinophora platyloba* under the influence of ethanol solvent concentration and extraction time (extraction temperature of 40°C).

بیانگر افزایش راندمان استخراج عصاره گیری با افزودن آب به عصاره‌ها بود همچنین مشخص شد با افزایش زمان استخراج میزان ترکیبات فنولی و آنتی اکسیدانی بالاتری استخراج می‌شود اما در دمای‌های بالاتر به علت تخریب حرارتی ترکیبات فنولی خواص آنتی اکسیدانی عصاره‌ها کاهش یافت [۱۸]. شعبانیان و همکاران (۲۰۲۱) در مطالعه‌ای عصاره‌ی پوست سبز گردو با حلال اتانول (در غلاظت‌های ۰، ۵۰ و ۱۰۰ درصد) در توان‌های مختلف ماکروویو (۴۰۰، ۹۰۰ و ۹۰۰ وات) و فواصل زمانی متفاوت (۱، ۸ و ۱۵ دقیقه) را استخراج کردند و به منظور تعیین عصاره‌ی بهینه جهت افزودن به رونگ، میزان کل ترکیبات فنولی و فعالیت آنتی اکسیدانی عصاره‌ها به روش‌های قدرت احیاء کنندگی، مهار رادیکال فعال DPPH و ظرفیت آنتی اکسیدانی کل را اندازه‌گیری نمودند. نتایج بیانگر افزایش استخراج ترکیبات فنولی و آنتی اکسیدانی با افزایش توان مایکروویو و زمان استخراج بود در حالیکه با افزایش غلاظت اتانول (استفاده از اتانول خالص) میزان استخراج ترکیبات فنولی کل به علت کاهش قطیبت حلال در مقایسه با عصاره هیدروالکلی کاهش یافت. همچنین در توان‌های بالای مایکروویو با طولانی شدن زمان استخراج میزان ترکیبات فنولی کل و خواص آنتی اکسیدانی کاهش یافت که می‌تواند به دلیل اثر تخریبی حرارت تولیدی بر ترکیبات فنولی طی زمان‌های طولانی استخراج باشد [۲۲].

در پژوهش حاضر نتایج حاصل از تجزیه‌ی واریانس داده‌های حاصل از اندازه‌گیری میزان ترکیبات فنولی کل برای عصاره‌ی اتانولی با مدل آماری درجه‌ی دوم در سطح آماری ۵٪ معنی‌دار بود (جدول ۲). با توجه به نتایج تجزیه واریانس (جدول ۲) و

همچنین طبق نتایج مطالعه‌ی حاضر و همسو با مطالعات گذشته از جمله مورلو و همکاران (۲۰۰۴) زمان استخراج تأثیر مهمی بر میزان استخراج ترکیبات فنولی کل داشت [۱۲]. دلیل این مشاهده می‌تواند ناشی از این موضوع باشد که با گذشت زمان حلال فرصت پیدا می‌کند تا به بافت گیاهی نفوذ کند و ترکیبات فنولی فرصت کافی برای جدا شدن از سویسترای خود و ورود به حلال اطراف را دارد [۲۲]. از طرفی اعمال استخراج توانم با حرارت به راحتی می‌تواند اجزای گیاهی را تخریب کند و ترکیبات گیاهی به درون محیط وارد شوند [۲۵]. به همین دلیل با اعمال فرایند استخراج هیدروترمال میزان ترکیبات فنولی استخراج شده روند صعودی دارد. در کل روش‌های حرارتی به ویژه آن‌هایی که در محیط مرطوب انجام می‌پذیرد از طریق شکستن دیواره سلولی باعث آزاد شدن هرچه بیشتر ترکیبات فنولی می‌شوند [۱۸]. لذا این روش جهت تحقیقات آینده پیشنهاد می‌شود.

هوشمند و مهدیان (۱۳۹۳) امکان استخراج عصاره گیاه خوشاریزه با امواج فرا صوت را مورد مطالعه قرار دادند و فعالیت آنتی اکسیدانی عصاره‌های تولیدی را به روش RFAP بررسی کردند. نتایج نشان داد که با افزایش دما و زمان فرآیند مقدار قدرت احیاء کنندگی آهن عصاره افزایش می‌یابد اما در دما و زمان‌های بالا روند استخراج کاهش یافته است [۲۱].

در مطالعه مشیری و همکاران (۱۳۹۹)، عصاره دانه زنیان تحت شرایط مختلف استخراج با حلال اتانول در غلاظت‌های (۰، ۵۰، ۱۰۰٪)، مدت زمان استخراج (۰، ۱۲، ۲۴ و ۲۵ ساعت) و دمای استخراج (۲۰، ۴۰ و ۵۰ درجه سانتی گراد) تهیه شد. نتایج

$+109.37 B - 52.07 AB + 121.39 A^2 + 108.50 B^2$   
 با توجه به نتایج تجزیه رگرسیون با استفاده از رابطه ۲ می‌توان  
 میزان ترکیبات فنولی عصاره‌ها را با دقت ۸۶/۰۱٪ پیش‌بینی  
 نمود.

ضرایب رگرسیونی حاصل (جدول ۳) معادله درجه‌ی دوم  
 مدل آماری جهت محاسبه‌ی میزان ترکیبات فنولی کل  
 عصاره‌ی اتانولی در رابطه‌ی شماره ۲ آورده شده است، در این  
 معادله، A معادل غلظت حلال (v/v) و B زمان استخراج بر  
 حسب ساعت می‌باشد.

$$\text{Total phenolic compounds} = +12.73 - 9.01 A$$

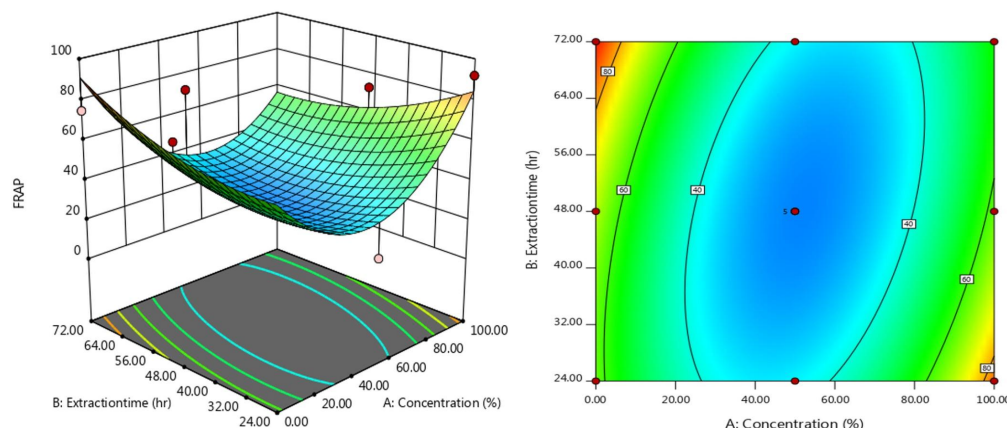
**Table 2** The analysis, variance of the regression coefficients of predicted linear and quadratic polynomial models for predicting antioxidant properties of *Echinophora platyloba* extract under different extraction conditions.

Response	Source	Sum of Squares	DF	Mean of Squares	F-value	p-value	significance
Total phenolic compounds	Model	2.012E+05	5	40233.35	8.61	0.0067	significant
	A-Concentration	486.90	1	486.90	0.1042	0.7563	
	B-Extractiontime	71769.47	1	71769.47	15.36	0.0058	
	AB	10844.10	1	10844.10	2.32	0.1715	
	$A^2$	40700.52	1	40700.52	8.71	0.0214	
	$B^2$	32514.76	1	32514.76	6.96	0.0335	
	Residual	32717.14	7	4673.88			
	Lack of Fit	32717.11	3	10905.70	1.363E+06	< 0.0001	significant
	Pure Error	0.0320	4	0.0080			
	Cor Total	2.339E+05	12				
Total antioxidant capacity	Model	82247.08	5	16449.42	36.21	< 0.0001	significant
	A-Concentration	5489.53	1	5489.53	12.08	0.0103	
	B-Extractiontime	24249.73	1	24249.73	53.38	0.0002	
	AB	5176.00	1	5176.00	11.39	0.0118	
	$A^2$	23574.74	1	23574.74	51.90	0.0002	
	$B^2$	7059.22	1	7059.22	15.54	0.0056	
	Residual	3179.89	7	454.27			
	Lack of Fit	3179.73	3	1059.91	26303.74	< 0.0001	significant
	Pure Error	0.1612	4	0.0403			
	Cor Total	85426.97	12				
FRAP	Model	6095.52	5	1219.10	3.52	0.0657	not significant
	A-Concentration	58.88	1	58.88	0.1700	0.6925	
	B-Extractiontime	0.1727	1	0.1727	0.0005	0.9828	
	AB	771.95	1	771.95	2.23	0.1792	
	$A^2$	3685.14	1	3685.14	10.64	0.0138	
	$B^2$	185.47	1	185.47	0.5353	0.4881	
	Residual	2425.22	7	346.46			
	Lack of Fit	2424.72	3	808.24	6410.16	< 0.0001	significant
	Pure Error	0.5043	4	0.1261			
	Cor Total	8520.74	12				
DPPH	Model	178.23	2	89.11	2.52	0.1299	not significant
	A-Concentration	17.44	1	17.44	0.4934	0.4984	
	B-Extractiontime	160.79	1	160.79	4.55	0.0588	
	Residual	353.51	10	35.35			
	Lack of Fit	353.51	6	58.92	1.178E+05	< 0.0001	significant
	Pure Error	0.0020	4	0.0005			
	Cor Total	531.74	12				

**Table 3** The regression coefficients of predicted quadratic polynomial and liner models for predicting different antioxidant activity of *Echinophora platyloba* extract under different extraction conditions.

Response	Factor	coefficients	R <sup>2</sup>	R <sup>2</sup> adjusted
Total phenolic compound	Intercept	12.73	0.8601	0.7602
	A-Concentration	-9.01		
	B-Extraction time	109.37		
	AB	-52.07		
	A <sup>2</sup>	121.39		
	B <sup>2</sup>	108.50		
Total antioxidant capacity	Intercept	19.14	0.9628	0.9362
	A-Concentration	30.25		
	B-Extractiontime	63.57		
	AB	-35.97		
	A <sup>2</sup>	92.39		
	B <sup>2</sup>	50.56		
FRAP	Intercept	28.97	0.7154	0.5121
	A-Concentration	-3.13		
	B-Extractiontime	0.1697		
	AB	-13.89		
	A <sup>2</sup>	36.53		
	B <sup>2</sup>	8.19		
DPPH	Intercept	15.57	0.3352	0.2022
	A-Concentration	1.70		
	B-Extractiontime	-5.18		

تأثیر شرایط مختلف استخراج (زمان استخراج و غلظت‌های مختلف حلال اتانولی) را نشان می‌دهد.

**Fig 6** 3D and 2D diagram of changes in reducing power of ethanolic extracts of a *Echinophora platyloba* under the influence of ethanol solvent concentration and extraction time (extraction temperature of 40°C).

عصاره‌های استخراجی با افزایش غلظت حلال اتانول روند نزولی داشت [۲۶] و قدرت احیاء کنندگی رابطه مستقیمی با میزان ترکیبات فنولی دارد [۲۷، ۲۸]. افزایش میزان قدرت احیاء کنندگی با افزایش زمان استخراج نیز می‌تواند به علت افزایش میزان ترکیبات فنولی کل عصاره‌ها تحت شرایط استخراج طولانی مدت باشد [۲۹].

معادله درجه دوم مدل آماری جهت محاسبه فعالیت آنتی اکسیدانی بر حسب میزان قدرت احیاء کنندگی عصاره‌های

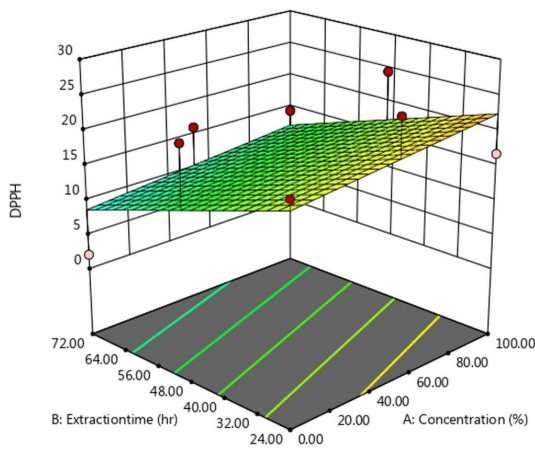
### ۲-۱-۳- قدرت احیاء کنندگی عصاره‌های استخراجی

شکل ۶ منحنی‌های سه بعدی و دو بعدی روند تغییرات قدرت احیاء کنندگی عصاره‌های هیدرو-اتanolی گیاه خوشاریزه تحت

همان طور که مشاهده می‌شود با افزایش غلظت اتانول تا ۵۰ درصد میزان قدرت احیاء کنندگی عصاره‌های استخراجی روند نزولی دارد و سپس با افزایش غلظت حلال اتانول میزان قدرت احیاء کنندگی عصاره‌ها روند افزایشی نشان می‌دهد. همان طور که ملاحظه می‌شود با افزایش زمان استخراج میزان قدرت احیاء کنندگی عصاره‌ها روند تقریباً ثابت و توأم با افزایشی را اطی می‌کند. با افزایش غلظت حلال اتانول مقدار قدرت احیاء کنندگی عصاره‌ها کاهش می‌یابد زیرا میزان ترکیبات فنولی

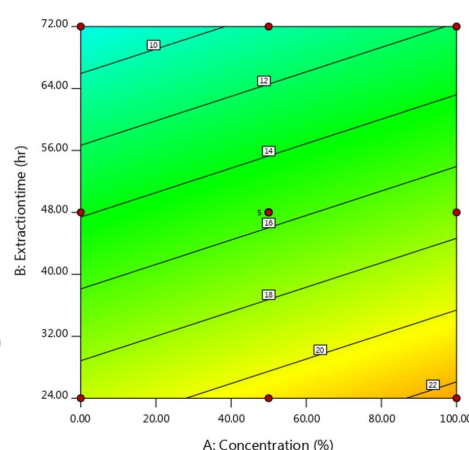
### ۳-۱-۳- خاصیت آنتیاکسیدانی مهار رادیکال فعال عصاره‌های استخراجی DPPH

همان طور که در منحنی‌های سه بعدی و دو بعدی روند تغییرات خاصیت آنتیاکسیدانی مهار رادیکال فعال DPPH عصاره‌های الکلی گیاه خوشابزیه تحت تأثیر شرایط مختلف استخراج (زمان استخراج و غلظت‌های مختلف حلال اتانولی) شکل ۷ مشاهده می‌شود با افزایش غلظت اتانول میزان خاصیت آنتیاکسیدانی مهار رادیکال فعال DPPH عصاره‌های اتانولی حاصل افزایش می‌یابد.



استخراجی در رابطه‌ی (۳) ارائه شده است، در این معادله، A معادل غلظت حلال(۷/۷) و B زمان استخراج بر حسب ساعت می‌باشد. با توجه به نتایج تجزیه رگرسیون در صورت استفاده از رابطه ۳ می‌شود با استفاده از رابطه ۳ می‌توان فعالیت آنتی اکسیدانی بر حسب میزان قدرت احیاء کنندگی عصاره‌های استخراجی را با دقت ۷۱/۵۴٪ پیش بینی نمود (جدول ۳).

$$\begin{aligned} \text{FRAP} = & +28.97 - 3.13 A + 0.1697 B - 13.89 AB \\ & + 36.53 A^2 + 8.19 B^2 \end{aligned}$$



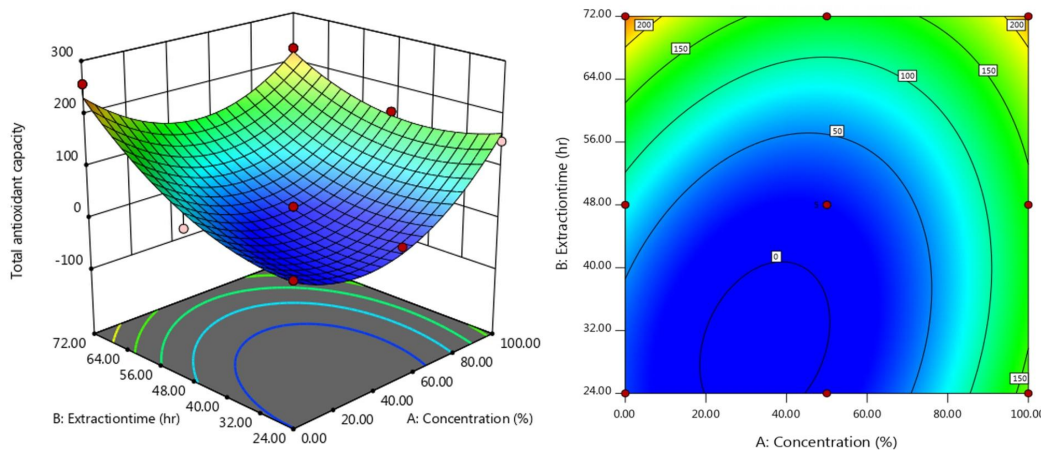
**Fig 7** 3D and 2D diagram of changes in antioxidant properties of DPPH activated radical inhibition of ethanolic extracts of a *Echinophora platyloba* under the influence of ethanol solvent concentration and extraction time (extraction temperature of 40°C).

افزایش زمان استخراج، میزان قدرت مهار کنندگی رادیکال فعال DPPH عصاره‌های حاصل کاهش یافت که با نتایج سایر محققین متفاوت است. تفاوت در فعالیت آنتی اکسیدانی عصاره‌های مختلف به میزان ترکیبات فنولی هیدروفیل و هیدروفوب موجود در عصاره ارتباط دارد اساساً آزمایش DPPH فعالیت آنتی اکسیدانی ترکیبات فنولی محلول در آب را اندازه گیری می‌کند. چن و همکاران (۲۰۰۵) گزارش کردند که عصاره آبی و میانولی به میزان ۸۰ تا ۸۲ درصد سبب مهار DPPH می‌شود [۳۱].

رابطه ۴ مدل آماری خاصیت آنتی اکسیدانی مهار رادیکال فعال DPPH عصاره‌های استخراجی را نشان می‌دهد. همان‌طور که در جداول ۲ و ۳ مشاهده می‌شود، خاصیت آنتی اکسیدانی مهار رادیکال فعال DPPH عصاره‌های استخراجی رابطه‌ای خطی بود که از دقت کافی برای پیش بینی برخوردار نیست و در صورت استفاده از این رابطه می‌توان تنها ۵۲/۳۳٪ انتظار دقت

بالاترین مقدار خاصیت آنتی اکسیدانی مهار رادیکال فعال DPPH (۴۰/۲۶) در محدوده زمان استخراج ۲۴ ساعت و غلظت ۵۰٪ حلال الکلی مشاهده شد. همچنین با افزایش زمان استخراج خاصیت آنتی اکسیدانی مهار رادیکال فعال DPPH عصاره‌ها روند نزولی دارد. نتایج تجزیه و تحلیل داده‌ها نشان داد، غلظت حلال تأثیر معنی داری بر میزان مهار رادیکال‌های آزاد داشت. همچنین نتایج حاکی از آن بود که توانایی عصاره‌ها در مهار رادیکال‌های آزاد وابسته به غلظت حلال بوده و با افزایش غلظت حلال فعالیت جذب رادیکال‌های آزاد آن‌ها افزایش می‌یابد. از آنجا که رابطه مستقیمی بین فعالیت گیرنده‌گی رادیکال با میزان ترکیبات فنولی در میوه‌ها وجود دارد [۳۰، ۲۷]، بنابراین با افزایش مقدار ترکیبات فنولی کل عصاره‌های استخراج شده انتظار می‌رود که درصد مهار کنندگی رادیکال فعال DPPH عصاره‌ها افزایش یابد ولی در تحقیق حاضر علی‌رغم افزایش مقدار ترکیبات فنولی تحت تأثیر

کل عصاره‌های اتانولی افزایش می‌یابد اما با افزایش غلظت حلال اتانول تا ۵۰ درصد میزان فعالیت آنتی‌اکسیدانی عصاره‌های اتانولی روند نزولی دارد و سپس با افزایش غلظت حلال اتانول میزان فعالیت آنتی‌اکسیدانی کل عصاره‌های افزایش می‌یابد (شکل ۸). این مشاهده می‌تواند به این دلیل باشد که با افزایش زمان استخراج، میزان انتقال جرم در فرآیند استخراج افزایش یافته و ترکیبات موثر در فعالیت آنتی‌اکسیدانی بهتر از داخل سلول‌ها خارج می‌شوند [۳۲].



**Fig 8** 3D and 2D diagram of changes in total antioxidant capacity of ethanolic extracts of a *Echinophora platyloba* under the influence of ethanol solvent concentration and extraction time (extraction temperature of 40°C).

### ۲-۳- بهینه‌سازی فرآیند استخراج عصاره از گیاه خوشاریزه تحت شرایط مختلف استخراج با حلال

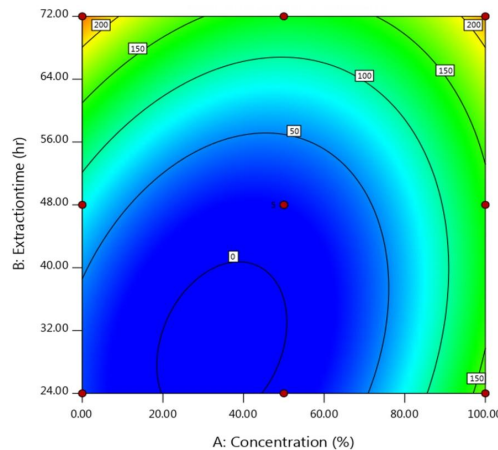
جدول ۳ شرایط تعیین شده برای متغیرهای مستقل جهت بهینه‌سازی استخراج عصاره از گیاه خوشاریزه و شرایط بهینه شده را نشان می‌دهد. از آنجا که در فرآیندهای استخراج هدف دستیابی به بالاترین فعالیت آنتی‌اکسیدانی و حفظ ترکیبات فعال و به حداقل رساندن خسارت حرارتی در زمان‌های طولانی استخراج می‌باشد، بنابراین همان طور که در جدول ۴ مشاهده می‌شود متغیرهای مستقل غلظت حلال در محدوده اعمال شده (۱۰۰-۱۰۰٪) و زمان استخراج جهت کاهش تأثیر نامطلوب حرارت بر ترکیبات فنولی و آنتی‌اکسیدانی حداقل در نظر گرفته شده است.

داشت.

$$\text{DPPH} = +15.57 +1.70 \text{ A} -5.18 \text{ B}$$

### ۴-۱-۳- خاصیت آنتی‌اکسیدانی کل عصاره‌های استخراجی

همان‌طور که منحنی‌های دو بعدی (کتور) و سه بعدی روند تغییرات خاصیت آنتی‌اکسیدانی کل عصاره‌های اتانولی گیاه خوشاریزه تحت تأثیر شرایط مختلف استخراج (زمان‌های مختلف استخراج و غلظت‌های مختلف حلال اتانولی) نشان می‌دهند با افزایش زمان استخراج، میزان فعالیت آنتی‌اکسیدانی



نتایج حاصل از تجزیه‌ی واریانس داده‌های حاصل از اندازه-گیری خاصیت آنتی‌اکسیدانی کل برای عصاره‌ی اتانولی با مدل آماری درجه‌ی دوم در سطح آماری ۵٪ معنی‌دار شد (جدول ۲). با توجه به نتایج تجزیه واریانس (جدول ۲) و ضرایب رگرسیونی حاصل (جدول ۳) معادله‌ی درجه‌ی دوم مدل آماری جهت محاسبه‌ی خاصیت آنتی‌اکسیدانی کل عصاره‌ی اتانولی در رابطه‌ی (۵) آورده شده است. در این معادله A معادل غلظت حلال (v/v) و B زمان استخراج بر حسب ساعت می‌باشد. با توجه به نتایج تجزیه رگرسیون در صورت استفاده از رابطه ۵ می‌شود میزان میزان خاصیت آنتی‌اکسیدانی کل عصاره‌ها را با دقیق ۹۶/۲۸٪ پیش بینی نمود.

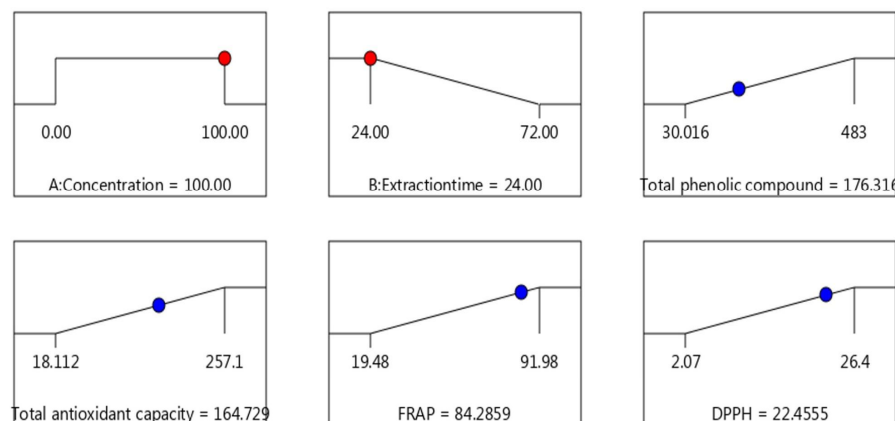
$$\text{Total antioxidant capacity} = +19.14 +30.25 \text{ A} +63.57 \text{ B} -35.97 \text{ AB} +92.39 \text{ A}^2 +50.56 \text{ B}^2$$

**Table 4** The constrain used to optimize the antioxidant properties of ethanolic extracts of *Echinophora platyloba* under the influence of different extraction conditions

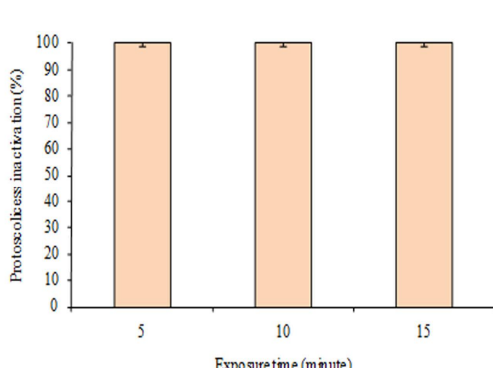
name	Goal	Lower limit	Upper limit
A:Concentration	is in range	0	100
B:Extractiontime	minimize	24	72
Total phenolic compound	maximize	30.016	483
Total antioxidant capacity	maximize	18.112	257.1
FRAP	maximize	19.48	91.98
DPPH	maximize	2.07	26.4

مناسب‌ترین و بهترین شرایط خواهد بود که راه حل اول با شرایط زمان استخراج ۲۴ ساعت و غلظت حلال اتانولی ۱۰۰٪ به عنوان بهترین شرایط جهت دستیابی به شرایط بهینه در نظر گرفته شد. در صورت اعمال شرایط راه حل اول خواص آنتی‌اکسیدانی و ترکیبات فنولی عصاره‌های حاصل از گیاه خوشاریزه به صورت بهینه حفظ می‌شود (شکل ۹).

همچنین متغیرهای وابسته‌ای نظیر مقدار ترکیبات فنولی کل، میزان ظرفیت آنتی‌اکسیدانی کل، میزان قدرت مهارکنندگی رادیکال فعال DPPH و میزان قدرت احیاء کنندگی عصاره‌ها حداقل در نظر گرفته شده است. در فرآیند بهینه‌سازی به تمامی پارامترهای مستقل وزن و اهمیت یکسان داده شد. با توجه به شرایط مورد نظر راه حل دارای بالاترین مطلوبیت،



Desirability = 0.683

**Fig 9** Results of optimizing the extraction of ethanolic extracts of *Echinophora platyloba***Fig 10** Effect of *Echinophora platyloba* extract on protoscolicess inactivation (%)

۳-۳-۳-۳ اثر کشنندگی عصاره بهینه بر پروتواسکولکس‌های /کینوکوکوس گرانولوزوس در مطالعه‌ی حاضر، عصاره اتانولی ۱۰۰ درصد گیاه خوشاریزه درصد کشنندگی بالایی در زمان‌های ۵، ۱۵ و ۳۰ داشت به طوری که درصد کشنندگی این عصاره به طور میانگین در هر سه زمان و هر ۴ بار تکرار آزمایش ۱۰۰ درصد بود (شکل ۱۰).

- Trop Dis., 6(11), e1915, 1-10.
- [4] Eckert J., Deplazes P. (2004). Biological, epidemiological, and clinical aspects of echinococcosis, a zoonosis of increasing concern. Clin Microbiol Rev., 17, 107-135.
- [5] Kayaalp C., Balkan M., Aydin C., Ozgurtas T., Tanyuksel M., Kirimlioglu V., Akoglu M. Oner K. (2001). Hypertonic saline in hydatid disease. World J Surgery, 25, 975-979.
- [6] Abbasi Dezfooli A., Sheesheene P., Behkam Shadmehr M., Ghaffarinejad M.H. (1991). Experimental study of the effects of scolicidal agents on liver bile ducts. Res Med., 15 (3, 4), 26-31.
- [7] Malekifard F., Keramati F. (2017). Investigation of the effects of *Ceratonia Siliqua* extract on protoscolexes of Hydatid cyst invitro. Armaghane-danesh, Yasuj Uni Med Sci J., 23(1), 69-79.
- [8] Bahrami S , Razi Jalali MH , Ramezani Z , Pourmehdi Boroujeni M , Toeimepour F . 2016, Invitro Scolicidal Effect of Lepidium sativumEssential Oil. J Ardabil Univ Med Sci., 15(4), 395-403.
- [9] Faizi F.,Parandin F., Moradkhani Sh., Rezaee., Sardar M ., Roushan A .,Fallah M. (2018). Scolicidal effects of mixture of *Artemisia*, *Eucalyptus* and *Ginger Extracts* on Hydatid cyst protoscolices. J Mazandaran Univ Med Sci ., 27 (157), 83-91.
- [10] Hosseini M.J., Youssefi M.R., Abouhosseini M. (2017). Comparison of the effect of *Artemisia Sieberi* essential oil and *Albendazole Drug* on protoscolices of Hydatid cyst under invitro conditions. J Babol Univ Med Sci., 19 (12), 63-8.
- [11] Ali R., Khan S., Khan M., Adnan M., Ali I., Khan T.A., Haleem S., Rooman M., Norin S., Khan S. N.( 2020). A systematic review of medicinal plants used against *Echinococcus granulosus*. PLOS ONE., <https://doi.org/10.1371/journal.pone.0240456>.
- [12] Morello J.R., Motilva M.J., Tovar M.J., Romero M.P. (2004). Changes in commercial virgin olive oil (cv Arbequina) during storage with special emphasis on the phenolic fraction. Food Chem., 85, 357-364.
- [13] Asgari Nematian M., Mohammadi S. (2016). The analgesic effect of *Echinophora Platyloba* hydroalcoholic extract in male rats. J Babol Univ Med Sci., 18(5), 31-7.
- [14] Shahdadi F, Mirzaei HO, Daraei

در مطالعات قبلی اثرات ضد قارچی و ضد باکتریایی گیاه مورد بررسی قرار گرفته و تأثیر مثبت آن نشان داده شده است. به طور مثال اثر ضد قارچی عصاره گیاه خوشاریزه بر درماتوفیت‌های شایع تریکوکوفیتون شوئن لاین و تریکوکوفیتون وروکوزوم در غلظت‌های ۳۵، ۵۰ و ۱۵۰ میلی‌گرم بر میلی‌لیتر نشان داده شد [۳۳]. در مطالعه‌ای دیگر، تأثیر مهارکنندگی قابل توجه عصاره مтанولی خوشاریزه علیه سوش نوکاردیای بیماری‌زا گزارش شد [۳۴]. همچنین تأثیر ضد باکتریایی قوی انسانس خوشاریزه بر باکتری‌های استافیلوکوکوس ارتوس گزارش شده است [۳۵]. به نظر می‌رسد فعالیت ضد میکروبی، ضد قارچی و ضد پروتاسکولکس کشی خوشاریزه مرتبط با وجود آلکالوئیدها و فلاونوئیدها موجود در این گیاه باشد [۲۸، ۱۴].

#### ۴- نتیجه‌گیری کلی

تجزیه و تحلیل داده‌ها نشان داد که با افزودن آب به حلال‌های مورد مطالعه کارایی آن‌ها در استخراج ترکیبات فنولی افزایش یافته و خاصیت آنتی‌اکسیدانی عصاره‌های حاصل افزایش می‌یابد که به علت افزایش قطبیت حلال می‌باشد. در مجموع می‌توان چنین بیان کرد که می‌توان از آنتی‌اکسیدان‌های طبیعی به عنوان جایگزین آنتی‌اکسیدان‌های سنتری استفاده نمود. همچنین نتایج آزمایشات بیرون‌تنی (in vitro) نشان داد که می‌توان از عصاره اتانولی ۱۰۰ درصد گیاه خوشاریزه به عنوان یک کاندیدای مناسب در محیط‌های درون‌تنی (in vivo) استفاده نمود. بدین منظور ارزیابی کارآیی این عصاره در مدل تجربی آلدگی با کیست هیداتید و نیز بررسی آثار جانبی احتمالی در حیوانات و متعاقباً انسان پیشنهاد می‌شود.

#### ۵- منابع

- [1] Abunna F., Fentaye S., Megersa B., Regassa A. (2012). Prevalence of bovine hydatidosis in Kombolcha Elfora abattoir, north eastern Ethiopia. J Anim Sci., 2, 281-286.
- [2] Junghanss T., Da Silva A. M., Horton J., Chiodini P.L. Brunetti E. (2008) .Clinical management of cystic echinococcosis: state of the art, problems, and perspectives. Am J Trop Med Hyg., 79, 301-311.
- [3] Fasihi Harandi M.,Christine M., Budke Rostami S. (2012). The Monetary burden of cystic echinococcosis in Iran. PLOS Negl

- Date seed oil: phenolic, tocopherol and sterol profiles. *J Food Lipids.*, 11, 251–265.
- [25] Clifford M.N. (2000). Cholorogenic acids and other cinnamates -Nature, occurrence, dietary burden, absorption and metabolism. *J Sci Food Agric.*, 80, 1033-1043 .
- [26] Shantha N.C., Decker E.A. (1994). Rapid, sensitive, iron-based spectrophotometric methods for determination of peroxide values of food lipids. *J AOAC Int.*, 77(2), 421-424.
- [27] Somsub W., Kongkachuichai R., Sungpuag P., Charoensiri R. (2008). Effects of three conventional cooking methods on vitamin C, tannin, myo-inositol phosphates contents in selected Thai vegetables. *J Food Comp Anal.*, 21, 187-197.
- [28] Spigno G., Tramelli L., De Faveri M.D. (2007). Effects of extraction time, temperature and solvent on concentration and antioxidant activity of grape marc phenolics. *J Food Eng.*, 81, 200-208.
- [29] Kumaran A., Karunakaran R.J. (2007). In vitro antioxidant activities of methanol extracts of five *Phyllanthus* species from India. *LWT - Food Sci Technol.*, 40(2), 344-352.
- [31] Chun S.S., Vattem D.A., Lin Y.T., Shetty K. (2005). Phenolic antioxidants from clonal oregano (*Origanum vulgare*) with antimicrobial activity against *Helicobacter pylori*. *Process Biochem.*, 40, 809-816.
- [32] Hojjati M., Alizadeh Behbahani B. (2021). Evaluation of the effect of aqueous and methanolic extraction methods on the antioxidant and antimicrobial characteristics of *Allium jesdianum* extract: in vitro study. *Iran Food Sci Technol Res.*, 17(1), 83-91.
- [33] Avigegan M., Saadat M., Nilforushzadeh M.A., Hafizi M. (2006).Antifungal activity of *Echinophora platyloba* against dermatophytes. *J Med Plants.*, 18, 10-16.
- [34] Eshraghi S., Amin G.H., Othari A. (2009).Evaluation of antibacterial properties and review of 10 medicinal herbs on preventing the growth of pathogenic *Nocardia* species. *J Med Plants.*, 8(32), 60-78.
- [35] Pass M., Rashidipour M., Talei G.R., Doosti B. (2012). Chemical composition and antibacterial and antioxidant properties of *Echinophora cinereal* essential oils. *J Med Herb.*, 3(2), 67-74.
- Garmakhany A. (2015). Study of phenolic compound and antioxidant activity of date fruit as a function of ripening stages and drying process. *J Food Sci Technol.* 52(3): 1814-1819. doi: 10.1007/s13197-013-1177-6.
- [15] Negi P.S. (2012). Review plant extracts for the control of bacterial growth: efficacy, stability and safety issues for food application. *Int J Food Microbiol.*, 156, 7-17.
- [16] Abbasi N., Mahdavi S. (2016). Antioxidant and antimicrobial properties of of *Echinophora Platyloba* essential oil and extract against *Staphylococcus aureus* and *Escherichia coli*. *J Innov Food Sci Technol.*, 8(3), 129-130.
- [17] Safari R., Shahhoseini S.R., Javadian S.R. (2018). Antibacterial and antioxidant effects of the *echinophora cinerea* extract on bighead carp (*Aristichthys nobilis*) fillet during two storage conditions. *J Aqua Caspian Sea.*, 3(2), 13-24.
- [18] Moshiri Roshan A., Sari A.A., Aghajani N., Daraei Garmakhany A.(2020). Ajowan seed ethanolic extract: extract optimization, phenolic compounds and antioxidant properties. *Iran J Food Sci Technol.*, 104(17), 51-64.
- [19] Rezai E.S., Jafari S.M., Khomeiri M., Bayat H. (2012). Antioxidant activity of toyserkani variety of walnut husk and comparison of its antiradical activity with synthetic antioxidants. *J Food Res (University of Tabriz).*, 22, 39-50.
- [20] Alikhani-Kupaei, M., and Daraei Garmakhany. A. 2012. Effect of microencapsulated essential oils on storage life and quality of strawberry (*Fragaria ananassa* cv. *Camarosa*). *Qual Assur Saf Crop Foods.*, 4 (2): 106–112.
- [21] Houshmand M., Mehdian E. (2015). Ultrasound-assisted antioxidant activity of *Echinophora Platyloba* with FRAP 2: The Second National Conference on Agriculture and Sustainable Natural Resources., Tehran.
- [22] Shabanian M., Sari A., Daraei Garmakhani A. (2021). Optimization of ethanolic extracts of walnut green peel extracted by microwave and investigation of their antioxidant properties. *Iran J Food Sci Technol.*, 115(18), 283-298.
- [23] Besbes S., Blecker C., Deroanne C., Bahloul N., Lognay G., Drira N.E. (2004).



## Optimizing the extraction conditions (solvent concentration and extraction time) of aqueous, alcoholic and hydroalcoholic extracts of *Echinophora platyloba*: antioxidant properties and its lethal effect on hydatid cyst Protoscolecs in laboratory condition

**Ghorbanipour, M.<sup>1</sup>, Sadeghi Dehkordi, Z.<sup>2\*</sup>, Sazmand, A.<sup>2</sup>,  
Daraei Garmakhany, A.<sup>3</sup>, Falah, M.<sup>4</sup>, Sari, A.<sup>5</sup>**

1. Msc graduated student of Parasitology, Faculty of Veterinary Science, Bu-Ali Sina University, Hamedan, Iran.
2. Assistant professor, Department of Pathobiology, Faculty of Veterinary Science, Bu-Ali Sina University, Hamedan, Iran.
3. Associate professor, Department of Food Science and Technology, Tuyserkan Faculty of Engineering and Natural Resources, Bu-Ali Sina University, Hamedan, Iran.
4. Professor, Department of Parasitology and Mycology, Faculty of Medicin, Hamadan University of Medical Sciences, Hamadan.
5. Assistant professor, Department of Food Hygiene and Quality Control, Faculty of Veterinary Science, Bu-Ali Sina University, Hamedan, Iran.

**ARTICLE INFO****ABSTRACT****Article History:**

Received 2022/11/14

Accepted 2023/01/04

**Keywords:**

Hydatid cyst,  
*Echinophora platyloba* ,  
 Optimum extraction ,  
 Scolicide.

**DOI:** 10.22034/FSCT.19.132.313**DOR:** 20.1001.1.20088787.1401.19.132.23.6

\*Corresponding Author E-Mail:  
 dehkordisz@gmail.com  
 z.sadeghidehkordi@basu.ac.ir

Cystic echinococcosis (hydatidosis) caused by the larval stage of cestodes of the genus *Echinococcus* is an important and prevalent zoonotic disease. In human patients, surgical removal of the cysts is the treatment of choice in many cases however, leakage of the larva (protoscoleces) during the surgery and formation of new cysts is a concern. Presently, different solutions such as hypertonic saline and silver nitrate are used to inactivate the cyst-dwelling protoscoleces but each have some side-effects hence searching for novel protoscolicide formulations with high efficacy and low side-effects has been always in the focus. The aim of this study was to optimize the extraction conditions of *Echinophora platyloba*, to evaluate antioxidant properties of the extracts and to assess their protoscolicidal effects *in vitro*. For this purpose, hydroalcoholic extracts of *Echinophora platyloba* were extracted in ethanol concentrations of 0, 50 and 100% and during 24, 48 and 72 hours. Response surface methodology (RSM) was performed to estimate optimal extract conditions. Finally, 200, 400 and 600 ppm concentrations of optimized extracts were tested on live protoscoleces from sheep and goat livers collected from Hamedan abattoir. Results showed that *Echinophora platyloba* extract prepared with absolute ethanol in 24 hours could inactivate 100% of protoscoleces after 5, 15 and 30 minutes of exposure. This *in vitro* study suggests that ethanolic extract of *Echinophora platyloba* can potentially be applied *in vivo*.

